



РОССИЯ И КИТАЙ

В УСЛОВИЯХ МНОГОПОЛЯРНОГО МИРА

ВЫЗОВЫ ОБРАЗОВАНИЮ И НАУКЕ

Материалы Третьего международного
магистерского форума

13 сентября 2017 года

多极世界格局条件下中俄在教育和科学领域所面对的挑战

第三节中俄研究生论坛学术论文集

2017年9月13日

俄罗斯，符拉迪沃斯托克市



Министерство образования и науки Российской Федерации

Владивостокский государственный университет
экономики и сервиса (ВГУЭС)

Министерство образования Китайской Народной Республики
Харбинский коммерческий университет

РОССИЯ И КИТАЙ В УСЛОВИЯХ МНОГОПОЛЯРНОГО МИРА ВЫЗОВЫ ОБРАЗОВАНИЮ И НАУКЕ

Материалы Третьего международного
магистерского форума
(13 сентября 2017 года)

Под общей редакцией д-ра экон. наук Т.В. Терентьевой

多极世界格局条件下中俄在教育和科学领域所面对的挑战

第三届中俄研究生论坛学术论文集

2017年9月13日

俄罗斯，符拉迪沃斯托克市

Владивосток
Издательство ВГУЭС
2017

УДК 332.12
ББК 65.050

P75

Россия и Китай в условиях многополярного мира : вызовы образованию и науке : материалы Третьего международного магистерского форума (13 сентября 2017 г.) / под общей ред. д-ра экон. наук Т.В. Терентьевой; Владивостокский государственный университет экономики и сервиса. — Владивосток: Изд-во ВГУЭС, 2017. — 295 с.

ISBN 978-5-9736-0481-3

В сборнике представлены доклады магистрантов, аспирантов и молодых ученых вузов России и Китайской Народной Республики, представленные в рамках Третьего международного магистерского форума «Россия и Китай в условиях многополярного мира: вызовы образованию и науке», состоявшегося в сентябре 2017 г.

Для студентов, аспирантов, ученых, занимающихся вопросами международного сотрудничества в Азиатско-Тихоокеанском регионе, представителей власти и бизнеса.

УДК 332.12
ББК 65.050

ISBN 978-5-9736-0481-3

© ФГБОУ ВО «Владивостокский государственный университет экономики и сервиса», оформление, 2017

Предисловие.....

序言.....

Акуленок В.С. Управление национальной экономикой в новых условиях
Аткамова Ш.У. Экономическое образование как фактор формирования кадрового потенциала
Студентов Владивостокский государственный университет экономики и сервиса

Ван Бин, Голованое приоритетов международного сотрудничества
приоритетов международного сотрудничества

Валихметова А.Т., планирования банковского стратегического управления
стратегического управления

Гомилевская Я.Г., И. сотрудничества в секторе
сотрудничества в секторе

Готовцева Т.И., Характеристика эффективности
эффективности машиностроения в регионах ДФО и
в регионах ДФО и

Грибанов Р.И. Некоторые
в международной торговле
в международной торговле

Даурова О.К. К вопросам
учета на основе трехмерных
учета на основе трехмерных

Еремин Я.Г., Воронеж как экономической
столицы
столицы

Капышкина Я.Д. Методология
развития экспортного
развития экспортного

Ковалева И.В. Методология
для антикризисной
для антикризисной

Костина Л.И., Валдай как инструмент по
взаимодействия
взаимодействия

Кривцова К.Е., Ведущий
правового режима
правового режима

Лончакова Т.Е., Чем
из позднеголоценового
из позднеголоценового

Мищенко А.Д. Влияние
на
на

Мустафаев И.С., Сопротивления
экспериментов в
экспериментов в

СОДЕРЖАНИЕ

Предисловие.....	6
序言	8
Акуленок В.С. Управление финансами бюджетных учреждений	10
Аткамова Ш.У. Экзистенциальная исполненность и адаптация иностранных студентов Владивостокского государственного университета экономики и сервиса.....	15
Ван Бин, Голованова К.Е. Россия и Китай в реализации стратегических приоритетов международного сотрудничества	21
Валихметова А.Т., Чепиков Р.А., Китижекова И.В. Совершенствование планирования банкротства предприятия с использованием стратегического учета	25
Гомилевская Я.Г., Гомилевская Г.А. Перспективы развития трансграничного сотрудничества в сфере туризма между Россией и КНР	31
Готовцева Т.И., Хачатрян Р.Н., Смицких К.В. Оценка бюджетной эффективности малого и среднего предпринимательства в регионах ДФО и СФО	37
Грибанов Р.И. Некоторые современные тенденции в международной торговле: роль рынков тихоокеанского региона	48
Даурова О.К. К вопросу интеграции финансового и налогового учета на основе требований МСФО.....	53
Еремин Я.Г., Ворожбигт О.Ю. Сущность феномена конкуренции как экономической категории	60
Капышкина Я.Д. Методика анализа отчета о финансовых результатах	66
Касьян Е.В., Сорокина Л.В. Современные тенденции и перспективы развития экспорта Дальнего Востока	71
Ковалева И.В. Методы и формы оценки бизнеса и финансового анализа для антикризисного управления	82
Костина Л.И., Варкулевич Т.В. Управление дебиторской задолженностью как инструмент повышения эффективности деятельности организации.....	87
Кривцова К.Е., Верещагина А.В. Некоторые аспекты регламентации правового режима «Дальневосточного гектара»	92
Лончакова Т.Е., Черепанова М.В. Диатомовые водоросли из позднеголоценовых осадков оз. Глухое (о. Кунашир, Курильские о-ва) и их значение для реконструкции экологических условий	100
Мищенко А.Д. Влияние санкций на экономику Российской Федерации.....	109
Мустафаев И.С., Чубенко Е.Ф. Определение компонент полного воздушного сопротивления масштабированной модели легкового автомобиля на основе экспериментов в аэродинамической трубе	119

индинова, Е.Т. Гурвич //
ресурс]. URL:
ращения: 20.09.2017).

тавить санкциям Запада /
онный ресурс]. URL:
: 20.09.2017).

ель населения России: со-
тический вестник Совета
стронный ресурс]. URL:
2002/vestniksf182–
).

продовольственной безо-
зия / Р.Р. Субхангулов,
11. – С. 199–202.

ельность как предприни-
рового хозяйствования /
исследований: экономика
государственной статисти-
и ресурс]. URL:
ru/statistics/accounts/# (да-
– [Электронный ресурс].
 обращения: 28.09.2017).
течественной экономики /
С. 486–491.

ОПРЕДЕЛЕНИЕ КОМПОНЕНТ ПОЛНОГО ВОЗДУШНОГО СОПРОТИВЛЕНИЯ МАСШТАБИРОВАННОЙ МОДЕЛИ ЛЕГКОВОГО АВТОМОБИЛЯ НА ОСНОВЕ ЭКСПЕРИМЕНТОВ В АЭРОДИНАМИЧЕСКОЙ ТРУБЕ

И.С. Мустафаев

студент

Е.Ф. Чубенко

преподаватель

Владивостокский государственный университет экономики и сервиса
Россия. Владивосток

Рассмотрено общее устройство аэродинамических труб, их типы. Приведены описания научных подходов для определения величин компонент воздушного сопротивления масштабированных моделей автомобилей. Представлена конструкция разработанной аэродинамической трубы и двух вариантов антикрыльев, полученных методами 3D моделирования, а также результаты экспериментов по определению коэффициентов лобового сопротивления.

Ключевые слова и словосочетания: воздух, поток, критерии, подобие, на-
тура, масштаб, аэродинамика, труба, тип, параметры, испытание, сходи-
мость, условие, устройство.

DETERMINATION OF THE COMPONENTS OF THE TOTAL AIR RESISTANCE OF A SCALED MODEL OF A PASSENGER CAR ON THE BASIS OF EXPERIMENTS IN A WIND TUNNEL

The general arrangement of wind tunnels, their types are considered. The descriptions of scientific approaches for determining the values of air resistance components of scaled car models are given. The design of the developed wind tunnel and two versions of the wings obtained by 3D modeling methods is presented, as well as the results of experiments to determine drag coefficients.

Keywords: air, flow, criteria, nature, scale, aerodynamics, pipe, type, parameters, test, convergence, condition, device.

На современном уровне развития автомобилестроения, а также при решении вторичных инженерных задач доработки кузовов транспортных средств с целью улучшения потребительских показателей (тюнинга), сформировались как исследовательские, так и технологические проблемы, требующие научного и практического решения. Одним из наиболее значимых и результативных подходов представляется проведение экспериментального определения полной аэродинамической характеристики (воздушного сопротивления) моделей автомобилей, представляющих собой с точки зрения механики плохо обтекаемые тела, в масштабированной трубе, где обращенное движение воздуха дает практически полное тождество обтекания транспортных средств в реальных условиях.

Значения аэродинамических сопротивлений движущемуся современному автомобилю определяют не только его тягово-скоростные и эксплуатационные

качества, такие как максимальная скорость, мощность, динамичность, устойчивость, комфортабельность, но и экономичность, а именно расход топлива, который также влияет на экологичность транспортных средств.

Аэродинамические сопротивления автомобиля, после его массы, являются вторым по значимости фактором, влияющим на расход топлива. Установлено, что снижение величины суммарных аэродинамических сопротивлений на 10% приводит к уменьшению расхода топлива на 5% [3, с. 21].

В настоящее время крупные производители автомобилей чаще всего применяют дорогостоящие аэродинамические комплексы, включающие, кроме полноштабной трубы, аэроклиматическую и масштабированную. Применение масштабированной аэродинамической трубы на ранней стадии проектирования автомобиля обходится в сотни раз дешевле полномасштабного или натурного эксперимента. Испытания масштабированных моделей автомобилей менее трудоемки и существенно менее дорогостоящи, причем показывают высокую степень сходимости результатов экспериментов с расчетными методами [6, с. 18].

Развитие собственно расчетных методов определения аэродинамических характеристик автомобилей как в нашей стране, так и за рубежом, направлено в основном на решение узких производственных задач [5, с. 264], общая теория аэродинамики автомобиля не разработана до настоящего времени. Поэтому применение масштабированных аэродинамических труб для получения экспериментальных данных по изучению поведения автомобиля в скоростном воздушном потоке как целью получения оптимальных форм проектируемых автомобилей, так и для решения задач тюнинга по улучшению динамических и эксплуатационных характеристик существующих транспортных средств, является актуальным.

Сопоставимость натурных результатов и экспериментов в аэродинамической трубе, а также расчетных методов является сложной научной задачей при отсутствии аэродинамической теории для автомобилей. Установление критерии подобия при переносе результатов эксперимента в аэродинамической трубе на дорожные условия предполагает динамическое и кинематическое подобие. Возможно выделить и технически обеспечить в эксперименте динамическое подобие масс и геометрическое подобие модели и натурного объекта. Кинематическое подобие – это подобия относений скоростей и ускорений воздушных потоков в трубном сечении эксперименте соблюсти технически невозможно.

Установлено, что значимым критерием для проведения эксперимента в масштабированной аэродинамической трубе является число Рейнольдса [4, с. 131].

Для разработанной конструкции трубы определяющим является установление зоны автомодельности с учетом размеров модели путем изменения скорости потока, где величина коэффициента лобового сопротивления воздуха остается постоянной с изменением числа Re .

Научно значимым для разработанной аэродинамической трубы является определение переходного коэффициента для переноса результатов модельных испытаний на натурные объекты.

В исследованиях аэродинамики легкового автомобиля отсутствуют работы по определению составляющих аэродинамического сопротивления – лобового профильного, индуктивного и донного, предположительно не являющихся постоянными величинами. Научной новизной для разработанной экспериментальной конструкции трубы является опытное определение этих составляющих лобового воздушного сопротивления с использованием навесного оборудования, изготовленного методами 3D моделирования.

Распределение состояло в ряде работ: Волгоградских автомобилей аэродинамические трубы как инструменты определения сопротивления эксперимент в магистралей И.С. Влияние вибрации [1]. Автор ст. Чубенко Е.Ф. практической конференции «Потенциальный потенциал АТР» в секции «Легкового транспорта» и

Из вышеприведенного в исследовании применяются масштабиро-вующие реше-ния компонент, а также ре-зультаты аэродинамических процессов, лобового сопротивления.

В настоящее время решаются такие как определения сопротивления;

4) только комплекс производит наиболее цели работы: опре-деления легковых трубо с моделями с 3D моделирова-

Задачи:

- построение масштабированного полного воздушного элементов кузова
- изготовление методом моделирования кузова, включая экспериментальную масштабированную оборудованием

На кафедре транспортной диагностики и построена испытательный рамы; масштабированного вентилятора; решетки; автомобилей; анемометра

амичность, устойчивость топлива, которого массы, являются плива. Установлено, противлений на 10%

чаще всего применение, кроме полномасштабного эксперимента. Трудоемки и существенность сходимости ре-

динамических характеристик, направлено в основу теория аэродинамики. Поэтому применение экспериментальных методов в воздушном потоке как для сил, так и для решений характеристики.

в аэrodинамической задачей при отсутствие критериев подобия в трубе на дорожные бие. Возможно выделение подобие масс и сил, тическое подобие потоков в трубном м-

эксперимента в масштабе [4, с. 131].

является установление изменения скорости движения воздуха остается

трубы является определение оптимальных ис-

отсутствуют работы гивания – лобового, не являющихся полноценной экспериментальной составляющих полного оборудования, из-

Распределение составляющих аэродинамического сопротивления представлено в ряде работ: Вольф – Генрих Гухо. Сопротивление воздуха при движении легковых автомобилей [6]; Королев Е.В., Жамалов Р.Р., Котин А.И. Аэродинамические трубы как инструмент исследования [8]; Петрушов В.А. Новый метод определения сопротивления движению автомобиля [7]; Повх И.Л. Аэродинамический эксперимент в машиностроении [5], а также в работе Чубенко Е.Ф., Мустафаев И.С. Влияние внешнего дизайна автомобиля на аэродинамические характеристики [1]. Автор статьи Мустафаев И.С. под руководством канд. техн. наук доцента Чубенко Е.Ф. занял 1 место на XIX Международной научно-практической конференции студентов, аспирантов и молодых ученых «Интеллектуальный потенциал вузов – на развитие дальневосточного региона России и стран АТР» в секции «Актуальные вопросы безопасности и сервиса автомобильного транспорта» и 2 место в конкурсе ВГУЭС «Молодой ученый».

Из вышеупомянутых работ можно сделать выводы:

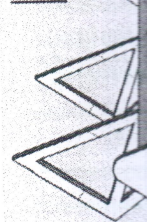
- 1) в исследованиях аэродинамических характеристик автомобилей широко применяются масштабированные трубы и модели автомобилей, которые значительно упрощают решение задач по определению полного воздушного сопротивления и его компонент, а также расширяют понимание фундаментальных явлений;
- 2) аэродинамическая характеристика модели, для более полного определения физических процессов, должна включать прежде всего величины коэффициентов лобового сопротивления;
- 3) в настоящее время не исследованы составляющие аэродинамического сопротивления, такие как профильное, индуктивное и донное, а также отсутствуют методики определения перечисленных составляющих полного аэродинамического сопротивления;
- 4) только комплексное применение экспериментальных и расчетных методов позволит наиболее полно оценить аэродинамическое поведение автомобиля.

Цель работы: определение составляющих полного аэродинамического сопротивления легковых автомобилей на основе эксперимента в масштабированной трубе с моделями с переменным навесным оборудованием, полученным методами 3D моделирования.

Задачи:

- построение масштабированной аэродинамической трубы для изучения компонент полного воздушного сопротивления и влияния различных конструктивных элементов кузова автомобиля на его аэродинамические характеристики;
- изготовление методами 3D моделирования различных элементов навесного оборудования кузова, влияющих на аэродинамические характеристики автомобиля;
- экспериментальное получение значений коэффициентов лобового сопротивления масштабированных моделей легковых автомобилей с различным навесным оборудованием как части полного аэродинамического сопротивления.

На кафедре транспортных процессов и технологий ВГУЭС в лаборатории компьютерной диагностики и инструментального контроля автомобилей разработана и построена испытательная установка, состоящая из: несущей многопролетной рамы; масштабированной аэродинамической трубы; электродвигателя; нагнетающего вентилятора; ступенчатой ременной передачи; конфузора; выпрямляющей решетки; неподвижной платформы с масштабированной моделью автомобиля; анемометров и весовой измерительной системы (рисунок 1).



Рабочая часть испытательной аэродинамической трубы изготовлена из листа оргстекла и усиlena тремя металлическими бандажными кольцами, толщиной 0,2мм. Представляет собой пустотелый цилиндр с неподвижной платформой для исследуемой модели, в перспективе с бегущей лентой для имитации дороги и вращения колес. Сопло круглого сечения диаметром 480 мм. Длина рабочей части трубы составляет 1150мм.

Несущая конструкция представляет собой многопролетную раму, изготовленную из стальных уголков 50х50мм. К бандажным кольцам прикреплена стержневая система стабилизации аэродинамической трубы, соединенная с помощью сайлентблоков с рамой для гашения вибраций и колебаний, создаваемых вентилятором и электродвигателем. Основой системы стабилизации являются стальные стержни диаметром 6мм и сайлентблоки резиново-металлические с диаметром наружной обоймы 30мм.

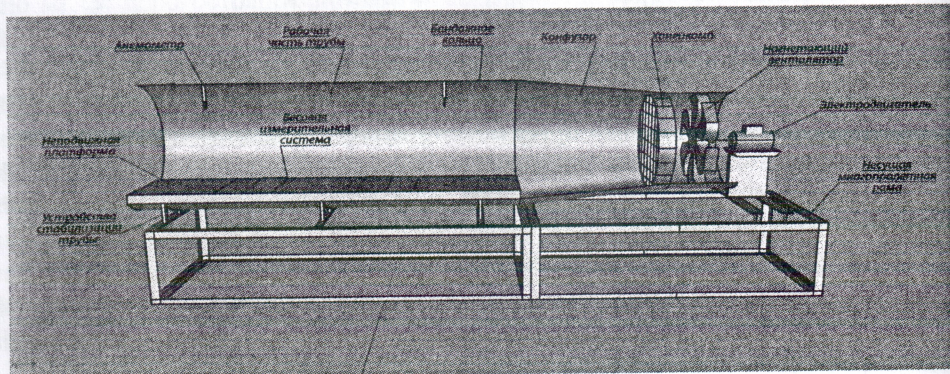


Рис. 1. Испытательная установка с аэродинамической трубой

Конфузор предназначены для плавного расширения воздушного потока и превращения за счет этого кинетической энергии в энергию давления воздуха [2, с. 259], представляет собой усеченный конус, изготовленный из оцинкованного железа толщиной 0,1мм.

Подвесной шестилопастной нагнетающий осевой вентилятор серии HDB/HDT изготовлен из алюминия, закреплен с помощью резьбового соединения с ведущим валом установки. Посадочный диаметр вентилятора – 21мм, производительность – 2640 м³/ч, высота – 400мм, ширина – 400мм.

Двигатель АПН011/2 – трехфазный, асинхронный, используется в связи с широкими возможностями регулирования частоты вращения. Номинальная мощность – 0,8кВт, частота вращения – 3000об/мин, диаметр выходного вала – 10мм.

Для изменения частоты вращения нагнетающего вентилятора применен привод электродвигателя, состоящий из двухступенчатого металлического шкива, диаметром – 50мм и 150мм, а также круглого резинового ремня, длина ремня – 925мм.

В основу эксперимента положены масштабированные радиоуправляемые полноприводные модели автомобилей Chevrolet Camaro и Subaru Impreza, имеющие электрические двигатели, масляные амортизаторы с пружинами, шасси особой прочности и специальные шины [1, с. 243].

На базе лаборатории «FabLab» ВГУЭС были спроектированы и изготовлены методами 3D моделирования антикрылья как элементы тюнинга (рисунок 2), для дальнейшего изучения их характеристик в испытательной аэродинамической трубе.

Исследования в аэродинамической стики и инструмент: процессов и технологий

Максимальная сменения рабочих ск томобилей, составля модели легкового а вого сопротивления 0,0031 (1,0%) при с тельный интервал Коэффициент поля

На рисунках 3 вого сопротивления коэффициента изме мость построена по тикрылом №1, 2 – м

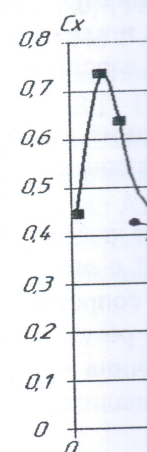
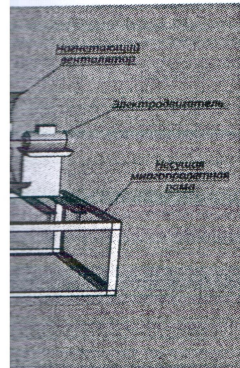


Рис. 3. Зависимость изменения скорос

изготовлена из листа кольцами, толщиной кной платформой для имитации дороги и длины рабочей час-

тную раму, изготовленную из листа кольцами прикреплена, соединенная с полубаний, создаваемых абилизации являются ново-металлические с



кой трубой

воздушного потока и давления воздуха [2, 3], из оцинкованного

и вентилятор серии о резьбового соединения вентилятора – 21мм, про- 10мм.

льзуется в связи с ши- я. Номинальная мощ- одного вала – 10мм. ятора применен привод ческого шкива, диамет- на ремня – 925мм.

ые радиоуправляемые и Subaru Impreza, ры с пружинами, шас-

ированы и изготовлены нинга (рисунок 2), для родинамической трубы.

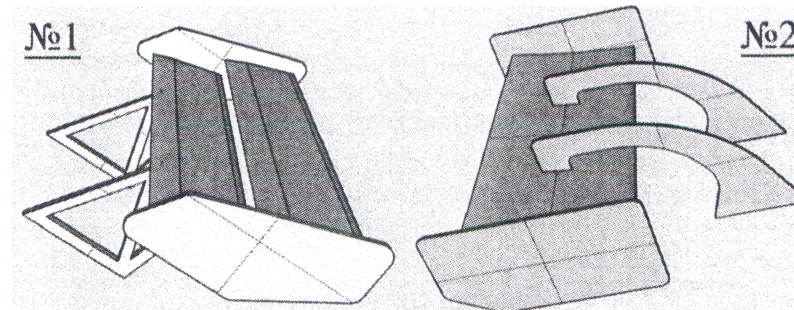


Рис.2. Антикрылья

Исследования для определения лобового сопротивления модели проведены в аэродинамической трубе, изготовленной в лаборатории компьютерной диагностики и инструментального контроля автомобилей кафедры транспортных процессов и технологий ВГУЭС.

Максимальная скорость воздушного потока в трубе – 60 м/с. Диапазон изменения рабочих скоростей, при испытании масштабных моделей легковых автомобилей, составляют (36 – 45) м/с. По результатам 10-кратных измерений для модели легкового автомобиля доверительный интервал для коэффициента лобового сопротивления C_x составляет $\pm 0,0048$ (1,5%) при скорости 36 м/с и $\pm 0,0031$ (1,0%) при скорости 45 м/с. Для коэффициента подъемной силы доверительный интервал при скорости 36 м/с составляет $\pm 0,0085$ (4,8%) и при скорости 45 м/с $\pm 0,0041$ (2,3%). Начальная степень турбулентности потока $\varepsilon=0,35\%$. Коэффициент поля трубы $\mu=1,02$. Масштаб модели легкового автомобиля – 1:10.

На рисунках 3 и 4 представлена зависимость величины коэффициента лобового сопротивления воздуха для масштабных моделей легковых автомобилей от коэффициента изменения скорости набегающего потока γ . Графическая зависимость построена по полученным экспериментальным данным, 1 – модель с антикрылом №1, 2 – модель с антикрылом №2, 3 – модель без антикрыла.

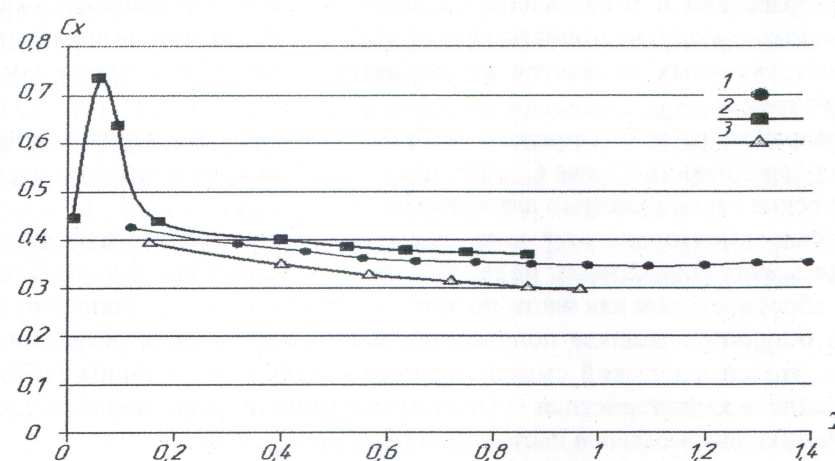


Рис. 3. Зависимость коэффициента лобового сопротивления C_x от коэффициента изменения скорости набегающего потока γ для модели автомобиля Subaru Impreza

рого следует, что
ет наименьшее лоб

Инновационны

- получена ре-
решения техниче-
управляемости, у-
ческих и экологич

- разработаны
аэродинамическая
достоверные нови-
сопротивления ма-
лять компоненты
характеристик мо-

- учитывая то
принимают все бо-
телу, наиболее зи-
экономии топлива
следствием данно

- аэродинами-
НИРС, является о-
ля и может быть г

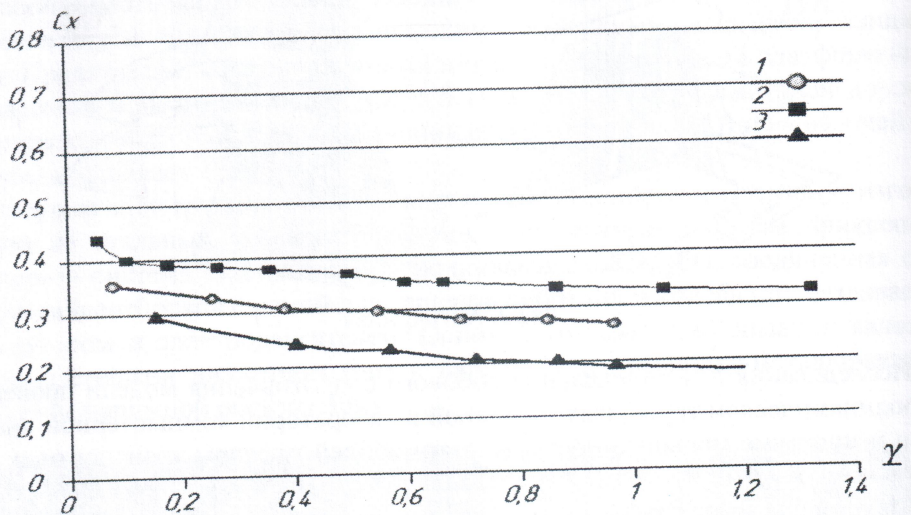


Рис.4. Зависимость коэффициента лобового сопротивления C_x от коэффициента изменения скорости набегающего потока γ для модели автомобиля Chevrolet Camaro

Все масштабные модели устанавливались относительно неподвижного экрана с одним постоянным по величине дорожным просветом.

Для возможности сравнения весовых нагрузок на модель скорость продувки в каждом эксперименте была постоянной. Рабочая скорость выбиралась по результатам определения зоны автомодельности, т.е. при постоянстве числа Re .

Другие составляющие полного аэродинамического сопротивления, как со- противление поверхностного трения, возможно определить расчетным методом, но необходимо знание режима обтекания (ламинарного, полного или смешанного) и площади поверхности модели.

Выводы:

- 1) разработана и изготовлена масштабированная аэродинамическая труба для изучения компонент полного воздушного сопротивления и влияния различных конструктивных элементов кузова автомобиля на его аэродинамические характеристики;
- 2) разработаны и изготовлены методами 3D моделирования элементы на-весного оборудования кузова (2 конструкции антикрыльев), влияющих на аэро- динамические характеристики автомобиля;
- 3) экспериментально получены значения коэффициентов лобового сопро- тивления масштабированных моделей легковых автомобилей с различным на- весным оборудованием как части полного аэродинамического сопротивления;
- 4) в результате анализа полученных экспериментальных результатов уста- новлено, что практический смысл имеет собственно не величина лобового со- противления, а характеристика «лучше-хуже» качественного анализа, т.к. теория аэродинамики автомобиля в настоящее время отсутствует;
- 5) практическим результатом проведенных экспериментов при настоящем состоянии масштабированной аэродинамической трубы и ее измерительной сис- темы можно признать полученные значения коэффициентов лобового сопротив- ления для моделей, пригодные для проведения качественного анализа, из кото-

1. Мустафаев
ские характеристи-
Электронный сбо-
мики и сервиса. –
ИНТ П_Т4 2017.р

2. Евграфов
2010. – 356 с.

3. Михайловс-
шиностроение, 19

4. Повх И.Л.
дание Л.: Маши-

5. Гухо В.Г.
[Аэродинамика а-

6. Петрушов
томобиля. – М.: А

7. Королев Е.
струмент исследо-

рого следует, что не оборудованная разработанными антикрыльями модель имеет наименьшее лобовое сопротивление.

Инновационный потенциал исследования:

- получена первичная статистическая база результатов экспериментов для решения технических задач об увеличении скорости автомобиля, улучшении управляемости, уменьшении воздушного сопротивления, улучшении экономических и экологических характеристик;

- разработанная и изготовленная на кафедре ТПТ ВГУЭС масштабированная аэродинамическая труба при дальнейшей разработке темы позволит получить достоверные новые способы определения составляющих аэродинамического сопротивления масштабных моделей легковых и грузовых автомобилей, определять компоненты воздушных сопротивлений при изменении геометрических характеристик моделей – профильное, индуктивное и донное;

- учитывая тот факт, что современные конструкции кузовов автомобилей принимают все более обтекаемые формы, приближаясь к идеально-обтекаемому телу, наиболее значимым в перспективе является решение задачи именно об экономии топлива и экологичности транспортных средств, что является прямым следствием данной работы;

- аэродинамическая труба, помимо научных исследований в рамках НИР и НИРС, является основой лабораторной базы для дисциплины Тюнинг автомобиля и может быть применена в учебном процессе.

1. Мустафаев И.С. Влияние внешнего дизайна автомобиля на аэродинамические характеристики [Электронный ресурс] / И.С. Мустафаев, Е.Ф. Чубенко // Электронный сборник Владивостокского государственного университета экономики и сервиса. – 2017. №19. – Режим доступа: <http://show.vvstu.ru/conf> Сборник ИНТ П_Т4 2017.pdf.
2. Евграфов А.Н. Аэродинамика автомобиля: Учеб. пособие. – М.: МГИУ, 2010. – 356 с.
3. Михайловский Е.В. Аэродинамика автомобиля: Учеб. пособие. – М.: Машиностроение, 1972. – 224 с.
4. Повх И.Л. Аэродинамический эксперимент в машиностроении. – 3-е издание Л.: Машиностроение, 1974 – 480 с.
5. Гухо В.Г. Сопротивление воздуха при движении легковых автомобилей [Аэродинамика автомобиля]: Учеб. пособие. – М.: 1987 – 422с.
6. Петрушов В.А. Новый метод определения сопротивления движению автомобиля. – М.: Автомобильный транспорт, №11, 1982 – 48 с.
7. Королев Е.В., Жамалов Р.Р., Котин А.И. Аэродинамические трубы как инструмент исследования – Княгинино.: Вестник НГИЭИ. Вып.12, 2012. – 122 с.

，就会打通我区连接欧亚大陆、物资集散、信息传递的
江沿边口岸的建设进程可以

贸易方式的进出口保持稳定
易方式的比重，促进黑龙江
各个领域中高新技术产品的一
步优化外贸企业的贸易结
江省对俄贸易发展方式的转
二产业所占比重极小，第三
，因此，黑龙江省应大力调
技术含量了附加值，才能使

Научное издание

РОССИЯ И КИТАЙ В УСЛОВИЯХ МНОГОПОЛЯРНОГО МИРА

ВЫЗОВЫ ОБРАЗОВАНИЮ И НАУКЕ

Материалы Третьего международного
магистерского форума
(13 сентября 2017 года)

Под общей редакцией д-ра экон. наук Т.В. Терентьевой

多极世界格局条件下中俄在教育和科学领域所面对的挑战

第三届中俄研究生论坛学术论文集

2017年9月13日

俄罗斯，特拉迪沃斯托克市

Компьютерная верстка М.А. Портновой

Подписано в печать 28.12.2017. Формат 70x100/16.
Бумага писчая. Печать офсетная. Усл. печ. л. 26,19.
Тираж 300 (1-100) экз. Заказ 139

Издательство Владивостокского государственного университета
экономики и сервиса
690014, Владивосток, ул. Гоголя, 41
Отпечатано в множительном участке ВГУЭС
690014, Владивосток, ул. Гоголя, 41